

# АСТРОФИЗИКА

ТОМ 64

НОЯБРЬ, 2021

ВЫПУСК 4

## БЕЛЫЕ КАРЛИКИ В ПРИБЛИЖЕНИИ ОДНОРОДНОГО ШАРА, С УЧЕТОМ ЭФФЕКТОВ ОТО

Г.С.БИСНОВАТЫЙ-КОГАН<sup>1,2</sup>, Е.А.ПАТРАМАН<sup>1</sup>

Поступила 1 сентября 2021

Предельная масса холодных белых карликов впервые была вычислена Е.Стонером в рамках приближенной модели однородной звезды, и была вскоре уменьшена на ~20% в работах С.Чандraseкара и Л.Д.Ландау, на основе точного решения уравнений для равновесия звезды. Здесь рассмотрены однородные модели белых карликов с учетом эффектов общей теории относительности и влияния конечной температуры. Решения получены в виде конечных аналитических формул и, для масс, не более чем на ~20% отличаются от точных решений, получаемых при численном интегрировании дифференциальных уравнений равновесия звезды.

**Ключевые слова:** белые карлики: однородная модель: общая теория относительности

1. *Введение.* При исследовании строения белых карликов было обнаружено, что их равновесие возможно только для масс, не превышающих некоторый предел, который известен как Чандрасекаровский. Для углеродно-кислородного химического состава, где на один электрон приходится два нуклона,  $\mu_e = 2$ , этот предел равен  $\approx 1.46 M_\odot$ . Впервые вывод о существовании верхнего предела массы для холодных звезд, равновесие которых поддерживается давлением вырожденных электронов, был сделан в работе Стонера [1], который рассматривал модель белого карлика однородной плотности, см. также [2]. Он обобщил рассмотрение давления вырожденных электронов, сделанное в работах [3,4] на случай большой плотности в условиях ультрарелятивистского вырождения, в котором уравнение состояния для холодного вещества принимает вид [5]

$$P(\rho) = \frac{(3\pi^2)^{1/3}}{4} \frac{\hbar c}{(\mu_e m_u)^{4/3}} \rho^{4/3} = K \rho^{4/3}. \quad (1)$$

Здесь  $\mu_e$  - количество нуклонов на один электрон,  $m_u$  - атомная единица массы, равная  $1/12$  массы изотопа  $^{12}\text{C}$ . Масса политропной звезды, соответствующей  $\gamma = 4/3$ ,  $n = 3$ , согласно теории Эмдена, не зависит от плотности и однозначно определяется параметром  $K$  в виде [5]

$$M_p = 4\pi \left( \frac{K}{\pi G} \right)^{3/2} M_3, \quad M_3 = 2.018. \quad (2)$$

Используя (2), Чандрасекар [6] и Ландау [7], независимо и почти одновременно получили для уравнения состояния (2) предельную массу белого карлика в виде

$$M_{wd} = \frac{\sqrt{3\pi}}{2} \left( \frac{\hbar c}{G} \right)^{3/2} \frac{M_3}{(\mu_e m_u)^2} = \frac{5.83}{\mu_e^2} M_\odot. \quad (3)$$

Для определения предельной массы наблюдаемых белых карликов Чандрасекар [6], следуя Стонеру [1], использовал значение  $\mu_e = 2.5$ , получив значение  $M_{wd} = 0.933 M_\odot$ . Это уточняло значение Стонера  $M_{wd} = 1.1 M_\odot$ , полученное при том же  $\mu_e = 2.5$  в модели с однородной плотностью. Из теории эволюции звезд, а также из наблюдений следует, что почти все белые карлики состоят из смеси углерода  $^{12}\text{C}$  и кислорода  $^{16}\text{O}$ , для которой  $\mu_e = 2$  [8], а  $M_{wd} = 1.46 M_\odot$ . В работе [7] впервые было получено реалистическое значение предела массы белого карлика, который заслуживает более справедливое название, как предел Стонера-Чандрасекара-Ландау.

Отметим, что здесь приводятся значения предельных масс белых карликов с использованием уточненных современных величин для всех констант, что привело к отличию на несколько процентов от величин, приведенных в оригинальных работах.

В данной работе однородная модель используется для построения приближенных моделей белых карликов произвольной массы при конечной температуре с учетом пост-ニュтонаовских поправок к ньютоновской гравитации за счет эффектов общей теории относительности (ОТО). Из сравнения результатов для предельных масс белых карликов в точной и однородной моделях, ошибки в определении всех величин в однородной модели составляют 20%.

*2. Белые карлики в приближении шара постоянной плотности.* Для приближенного рассмотрения однородных звезд взят энергетический метод, использованный Стонером [1] для белых карликов, и позже для общего случая в работах [9,10]. Распределение плотности принимается заданным, с единственным параметром в виде центральной плотности, при изменении которой изменения в звезде происходят гомологически.

Для однородных звезд таким параметром является постоянная по звезде плотность. Запишем полную энергию однородной звезды  $\varepsilon$  в виде

$$\varepsilon = E_T M + \varepsilon_G = E_T M - \frac{3}{5} G \frac{M^2}{R} = E_T M - \frac{3}{5} G \left( \frac{4\pi M^5}{3} \right)^{1/3} \rho^{1/3}. \quad (4)$$

Здесь  $E_T$  - внутренняя энергия единицы массы, гравитационная энергия однородного шара  $\varepsilon_G$  определена в [11]. Равновесное состояние и условие устойчивости для звезды массы  $M$  определяются, соответственно, соотношениями

$$0 = \frac{d\varepsilon}{d\rho^{1/3}} = 3MP\rho^{-4/3} - \frac{3}{5}G\left(\frac{4\pi M^5}{3}\right)^{1/3}; \quad \frac{d^2\varepsilon}{d(\rho^{1/3})^2} = 9MP\rho^{-5/3}\left(\gamma - \frac{4}{3}\right) > 0. \quad (5)$$

Здесь использованы термодинамические соотношения [12]

$$P = \rho^2 \left( \frac{\partial E_T}{\partial \rho} \right)_S; \quad \gamma = \left( \frac{\partial \ln P}{\partial \ln \rho} \right)_S. \quad (6)$$

Из первого соотношения для равновесия в (5) получаем единственное решение для массы однородной звезды  $M_u$ , в случае уравнения состояния  $P = K\rho^{4/3}$ , в виде

$$M_u = 5.463 \left( \frac{K}{G} \right)^{3/2}. \quad (7)$$

Из сравнения масс  $M_u$  из (7) и  $M_p$  из (3) получаем для предельной массы

$$M_u = \left( \frac{5}{4} \right)^{3/2} \frac{\sqrt{3}}{M_3} M_{ud} = 1.199 M_{ud}. \quad (8)$$

Таким образом, приближенное значение для предельной массы однородной звезды, по Стонеру, примерно на 20% превышает точное. Для произвольного уравнения состояния из (5) получаем следующее выражение для зависимости массы звезды от плотности

$$M_u = 5.463 \left( \frac{P\rho^{-4/3}}{G} \right)^{3/2}. \quad (9)$$

Для холодных белых карликов с уравнением состояния [5]

$$P = \frac{m_e^4 c^5}{24\pi^2 \hbar^3} \left[ y \left( 2y^2 - 3 \right) \sqrt{y^2 + 1} + 3 \sinh^{-1} y \right], \quad y = \left( \frac{3\pi^2 \rho}{\mu_e m_u} \right)^{1/3} \frac{\hbar}{m_e c} = \left( \frac{1.027 \rho}{10^9 \mu_e} \right)^{1/3} \quad (10)$$

получаем приближенную зависимость  $M(\rho)$  для белого карлика в однородной модели, представленную сплошной линией на рис.1. В ультрарелятивистском пределе из (10) получаем уравнение состояния (1), из которого следует приближенное значение предельной массы (7), (8). При учете малых поправок за счет отклонения от ультрарелятивистского газа при  $y \gg 1$  и малых температурных поправок  $\alpha = m_e c^2 / kT \gg 1$ , уравнение состояния принимает вид [5]

$$\begin{aligned} P &= \frac{m_e^4 c^5}{24\pi^2 \hbar^3} y^4 \left( 1 - \frac{1}{y^2} + \frac{2\pi^2}{3\alpha^2 y^2} \right) = \\ &= P(\rho) = \frac{(3\pi^2)^{1/3}}{4} \frac{\hbar c}{(\mu_e m_u)^{4/3}} \rho^{4/3} \left( 1 - \frac{1}{y^2} + \frac{2\pi^2}{3\alpha^2 y^2} \right). \end{aligned} \quad (11)$$

Тогда в однородной модели зависимость массы от плотности при больших плотностях, с учетом (9), записывается в виде

$$M_u = 5^{3/2} \frac{3\sqrt{\pi}}{16} \left( \frac{\hbar c}{G} \right)^{3/2} \frac{1}{(\mu_e m_u)^2} \left( 1 - \frac{1}{y^2} + \frac{2\pi^2}{3\alpha^2 y^2} \right)^{3/2}. \quad (12)$$

*3. Модели однородных белых карликов с учетом малых поправок на ОТО.* Рассмотрим модели однородных белых карликов с учетом пост-ニュтонаовских поправок на ОТО.

Для равновесных звезд пост-ニュтонаовские поправки к энергии рассчитаны в [9], см. также [13] в интегральном виде, которые для однородного шара вычисляются аналитически:

$$\begin{aligned} \Delta E &= I_1 + I_2 + I_3 + I_4 + I_5, \\ I_1 &= -\frac{G}{c^2} E_T \int m \frac{dm}{r} = -\frac{9}{25} \frac{G^2}{c^2} \left( \frac{4\pi\rho}{3} \right)^{2/3} M^{7/3}, \\ I_2 &= -\frac{G^2}{2c^2} \int m^2 \frac{dm}{r^2} = -3^{1/3} \frac{G^2}{14c^2} (4\pi\rho)^{2/3} M^{7/3}, \\ I_3 &= -\frac{G}{c^2} \int \left( \int E_T dm \right) \frac{dm}{r} = -\frac{9}{25} \frac{G^2}{c^2} \left( \frac{4\pi\rho}{3} \right)^{2/3} M^{7/3}, \\ I_4 &= \frac{G^2}{c^2} \int \left( \int \frac{mdm}{r} \right) \frac{dm}{r} = 3^{4/3} \frac{G^2}{35c^2} (4\pi\rho)^{2/3} M^{7/3}, \\ I_5 &= -\frac{G^2}{c^2} \int \left( \int mrdr \right) \frac{mdm}{r^4} = -3^{1/3} \frac{G^2}{35c^2} (4\pi\rho)^{2/3} M^{7/3}. \end{aligned} \quad (13)$$

В итоге получаем поправку на ОТО для однородной звезды в виде

$$\Delta E = -\frac{6}{5} \left( \frac{4\pi}{3} \right)^{1/3} \frac{G}{c^2} M^{5/3} E_T \rho^{1/3} - \frac{3}{70} \left( \frac{4\pi}{3} \right)^{2/3} M^{7/3} \rho^{2/3}. \quad (14)$$

Для политропного шара имеют место соотношения [5]

$$\varepsilon_T = E_T M = -\frac{n}{3} \varepsilon_G = \frac{n}{5} G \left( \frac{4\pi}{3} \right)^{1/3} M^{5/3} \rho^{1/3}. \quad (15)$$

Учитывая (15) в первом члене (14), получаем выражение поправки на ОТО для политропной звезды однородной плотности в виде

$$\Delta E = -1.982 \frac{G^2}{c^2} M^{7/3} \rho^{2/3}. \quad (16)$$

Для эмденовской политропной модели с  $n=3$  поправки на ОТО составляют [9]

$$\Delta E = -0.93 \frac{G^2}{c^2} M^{7/3} \rho^{2/3}. \quad (17)$$

При учете поправки на ОТО приближенное уравнение равновесия в однородной модели, с учетом (5) и (16), запишется в виде

$$\begin{aligned} 0 &= \frac{d \varepsilon}{d \rho^{1/3}} = 3MP\rho^{-4/3} - \frac{3}{5}G\left(\frac{4\pi M^5}{3}\right)^{1/3} + \frac{d \Delta E}{d \rho^{1/3}} = \\ &= 3MP\rho^{-4/3} - \frac{3}{5}G\left(\frac{4\pi M^5}{3}\right)^{1/3} - 3.964 \frac{G^2}{c^2} M^{7/3} \rho^{1/3}. \end{aligned} \quad (18)$$

Зависимость  $M(\rho)$  в однородной модели белого карлика с учетом эффектов ОТО, следующая из (18), с использованием уравнения состояния (10), приведена на рис.1. Максимум массы достигается при  $\rho_m = 4.689 \cdot 10^9 \text{ г/см}^3$ ,  $M_m = 1.672 M_\odot$ . Аналогичные кривые для белых карликов в точных политропных моделях построены в работе [10].

Из сравнения видно, что кривые для однородной модели примерно на 20% выше, чем на соответствующих кривых из [10], и теряют устойчивость за счет эффектов ОТО при плотности приблизительно в 5 раз меньшей из-

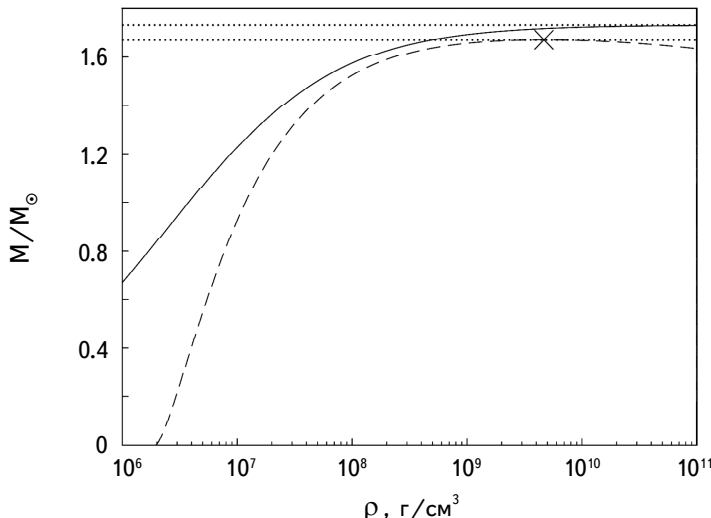


Рис.1. Зависимости массы от плотности без учета и с учетом эффектов ОТО. Сплошной линией обозначена однородная модель без учета эффектов ОТО. Штриховой линией представлена однородная модель с учетом малых поправок на ОТО. Максимум достигается в точке  $\rho_m = 4.689 \cdot 10^9 \text{ г/см}^3$ ,  $M_m = 1.672 M_\odot$ .

за большого влияния этих эффектов в однородной модели, по сравнению с точной политропной моделью  $n = 3$ . Используя уравнения (11) и (18), получаем уравнение для массы однородного белого карлика с учетом эффектов ОТО при конечной температуре.

$$M = \left( \frac{-\frac{3}{5}G\left(\frac{4\pi}{3}\right)^{1/3} + \sqrt{\left(\frac{3}{5}G\left(\frac{4\pi}{3}\right)^{1/3}\right)^2 + 47.568\frac{G^2}{c^2}\rho^{-1}P}}{7.928\frac{G^2}{c^2}\rho^{1/3}} \right)^{3/2}. \quad (19)$$

Зависимость массы от плотности однородных белых карликов для разных температур, с учетом эффектов ОТО, приведена на рис.2.

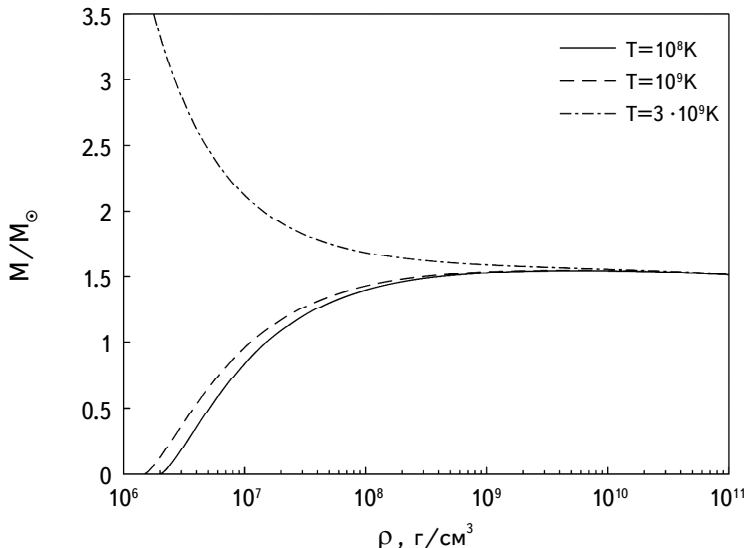


Рис.2. Кривые для изотермических однородных белых карликов при больших плотностях с учетом эффектов ОТО.

Зависимость массы от плотности для изотермических белых карликов в политропной модели получена в работе [10]. Отметим, что влияние эффектов ОТО на устойчивость белых карликов впервые исследовано Капланом [14].

Данная работа частично поддержана грантом РФФИ 20-02-00455.

<sup>1</sup> Институт космических исследований РАН, Москва, Московский физико-технический институт МФТИ, г. Долгопрудный, e-mail: gkogan@iki.rssi.ru

<sup>2</sup> Национальный исследовательский ядерный университет МИФИ, Москва

WHITE DWARFS IN A UNIFORM SPHERE  
APPROXIMATION, WITH ACCOUNT OF GENERAL  
RELATIVITY EFFECTS

G.S.BISNOVATYI-KOGAN<sup>1,2</sup>, E.A.PATRAMAN<sup>1</sup>

A limiting mass of cold white dwarfs was first calculated by E.Stoner in the frame of approximate model of a uniform star, and was decreased soon by ~20% in works of S.Chandrasekhar and L.D.Landau, basing on exact solution of stellar equilibrium equations. Uniform models of white dwarfs are considered here with account of General Relativity effects, and influence of a finite temperature. Solutions are obtained in the form of finite analytic formulae, and, for masses, not more than ~20% differ from exact solutions, obtained by numerical integration of differential equations of stellar equilibrium.

*Keywords:* *white dwarf: uniform model: general relativity*

## ЛИТЕРАТУРА

1. *E.C.Stoner*, Phil. Mag., **9**, 944, 1930.
2. *E.G.Thomas*, Phil. Mag., **91**, 3416, 2011.
3. *R.H.Fowler*, Mon. Not. Roy. Astron. Soc., **87**, 114, 1926.
4. *J.Frenkel*, Zs. Phys., **50**, 234, 1928.
5. Г.С.Бисноватый-Коган, Физические вопросы теории звездной эволюции, М., Наука, 1989.
6. *S.Chandrasekhar*, Astrophys. J., **74**, 81, 1931.
7. *L.D.Landau*, Phys. Zs. Sowjet., **1**, 285, 1932.
8. *E.Schatzman*, White dwarfs, Amsterdam, North Holland, 1958.
9. Я.Б.Зельдович, И.Д.Новиков, УФН, **86**, 447, 1965.
10. Г.С.Бисноватый-Коган, Астрон. ж., **43**, 89, 1966, (Sov. Astron., **10**, 69, 1966).
11. Л.Д.Ландау, Е.М.Лифшиц, Теория поля, М., Физматгиз, 2001.
12. Л.Д.Ландау, Е.М.Лифшиц, Статистическая физика, М., Наука, 1976.
13. Я.Б.Зельдович, И.Д.Новиков, Теория тяготения и эволюция звезд, М., Наука, 1971.
14. С.А.Каплан, Уч. зап. Львовского гос. ун-та, серия физ-мат., **15**, 109, 1949.